

الفصل الأول

مقدمة عامة

General Introduction

1.1 استهلال:

Preface

من المعروف أن فيزياء التفاعلات النووية ظهرت في العقد الثاني من القرن العشرين على يد العالم ارنست رذرفورد (Ernest Rutherford) عندما أجرى تفاعلاً لجسيمات ألفا (الناجمة من النشاط الإشعاعي الطبيعي لبعض النوى المشعة) مع رقائق من الذهب والذي على أثره اكتشفت النواة الذرية ووضع رذرفورد نموذجة الذري الذي عرف باسمه. وبمفهوم مبسط يمكن القول أن التفاعل النووي (Nuclear reaction) يحدث عند اقتراب نواة من أخرى لمسافة صغيرة يمكن أن يظهر فيها تأثير القوى النووية [1,2]. والقوى النووية هي القوى التي تربط مكونات النواة من بروتونات و نيوترونات لتتفاعل مع مثيلتها في النواة الأخرى. وبالنسبة للنوى المتوسطة والثقيلة ($A > 4$) - A هو العدد الكتلي للنواة (Mass number) - تتميز تفاعلاتها بوجود طول موجي قصير جداً يعرف بطول موجي دي برولي (De Broglie wave length) نظراً لأن λ تقل كلما زادت سرعة النوى المتفاعلة أو كتلتها.

ومن أجل أن يحدث تفاعل بين زوج من النوى يجب أن تكون سرعة اقتراب نواة القذيفة (Projectile) من نواة الهدف (Target) عالية نسبياً، لذا فإنه يجب أن نعجل سرعة نواة القذيفة بحيث يمكنها أن تتغلب على حاجز الجهد الكولومي (Coulomb potential) الطارد وتدخل في نطاق تأثير

القوى النووية الجاذبة بين النواتين. لذلك كان من الضروري الاهتمام بتطوير تقنية أجهزة التعجيل وهي ما تسمى بالمعجلات النووية. وخلال الخمسين سنة الأخيرة تم بالفعل تطوير هذه المعجلات لتعطي طاقه تسمح بدراسة تزاوجات متباينة من النوى الثقيلة وأمكن دراسة التفاعلات النووية للنوى الثقيلة وتحليلها بشكل عام بدرجة دقة عالية جداً، إلا أنها مازالت تحتاج لمزيد من التمحيص بالنسبة للنوى الثقيلة جداً. ومما لاشك فيه أن التفاعلات النووية قد لعبت دوراً رئيساً في التعرف على أساسيات الفيزياء النووية، ولقد تعددت السبل والأساليب النظرية المستخدمة لمعالجة نتائج القياسات العملية للتفاعلات النووية حيث ظهرت عدة نماذج منها النموذج الضوئي والعنقودي ونموذج الطي وغيرها لوصف التفاعلات النووية سنستعرضها لاحقاً بشيء من التفصيل0

1.2 التفاعلات النووية:

Nuclear reactions

التفاعل النووي - كما ذكرنا أعلاه- هو كل ما يحدث عند اقتراب جسيم نووي

(Nuclear particle) من جسيم نووي آخر على مسافة قصيرة جداً تظهر فيها آثار القوة النووية0

وقسمت التفاعلات النووية إلى صنفين رئيسين [3,4]: تفاعل النواة المركبة (Compound nucleus

reaction) وتفاعل نووي مباشر (Direct nuclear reaction).

وسنخرج في هذا المقام في عجلة على أهم ما يميز به كل صنف عن الآخر.

1.2.1 تفاعل النواة المركبة :

يحدث في هذا النوع من التفاعلات التحام شبه كامل (اندماج) (Fusion) بين الجسيم النووي الساقط (Incident particle) والذي يمثل القذيفة وجسيم الهدف ويكونان معاً نواة جديدة تسمى النواة المركبة وتكون هذه النواة في حالة إثارة (Excitation) لفترة زمنية في حدود 10^{-19} ثانية. هذه الفترة كافية لأن تتوزع طاقة الإثارة وبشكل منتظم إلى حد ما على جميع النيوكليونات التي تحتويها هذه النواة. بعد ذلك سرعان ما تتحلل (Decay) هذه النواة وبشكل عشوائي، حيث أن الطاقة التي حصل عليها نيوكليون أو مجموعة من النيوكليونات تكون كافية لهروبها من الارتباط بتلك النواة. لذلك نجد أن النواة المركبة قد تنفلق إلى جسيمين نوويين جديدين يمثلان نواتج التفاعل وربما تتحلل لثلاثة جسيمات نووية، وقد يصحب ذلك الانحلال أشعة بيتا أو جاما. وجدير بالذكر أن اعتبار النواة كقطرة سائل طبقاً لنموذج قطرة السائل (Liquid drop model) النووي ربما يكون معينا لتصور ما يحدث لهذا النظام. ففي تفاعل النواة المركبة نجد أن القطيرتين المتصادمتين (The two colliding droplets) تتحدان لتكوين قطرة واحدة مركبة والتي نظراً لإثارتها تكون في درجة حرارة عالية عندئذ فإن الانحلال أو التبريد (Cooling) لهذه القطرة يمكن أن يحدث من خلال تبخر (Evaporation) واحد أو أكثر من الجسيمات المكونة لهذه القطرة 0

ونظراً لأن الفترة الزمنية التي تمر ما بين تشكل النواة المركبة وانحلالها تعد طويلة نسبياً وبسبب حركة النيوكليونات المعقدة داخل النواة خلال تلك الفترة فإن النواة المركبة المثارة ربما تفقد ذاكرتها - إن جاز القول - عن الطريقة أو المكونات التي تسببت في نشأتها، وبالتالي فإن قيم احتمالية (Probability) وجود أنماط (Modes) لنواتج ما من هذه النواة تكون مستقلة (Independent) عن بعضها كما أنها لا تعتمد على نوع الجسيمين التي تكونت منهما النواة المركبة.

1.2.2 التفاعل النووي المباشر:

على النقيض مما يحدث في تفاعل النواة المركبة نجد في هذا النوع من التفاعلات أن الجسم النوي الساقط (القذيفة) يقترب من جسم الهدف اقترابا هامشيا سريعا لا يسمح بحدوث التحام كامل بين الجسمين، لذلك يسمى أيضا هذا النوع بالتفاعل الهامشي (السطحي) (Peripheral reaction) وغالبا ما يتم بطريقة سريعة جدا حيث تكون الفترة الزمنية التي يعبر فيها جسم القذيفة أبعاد جسم الهدف في حدود 10^{-22} ثانية أي في حدود 0.001 من الفترة الزمنية في حالة تفاعل النواة المركبة

وجدير بالذكر أن نوعي التفاعل المباشر والنواة المركبة ليسا منفصلان تماما، بل قد

يساهم النوعان في اتمام تفاعل ما بنفس النواتج النهائية. إلا أنه عادة ما تسود احتمالية حدوث تفاعل النواة المركبة عند سقوط قذيفة التفاعل بطاقة منخفضة نسبيا، بينما العكس يحدث عندما تكون طاقة القذيفة عالية نسبيا حيث يكون التفاعل هامشيا أي سطحيًا.

عادة ما تصنف التفاعلات النووية المباشرة في نوعين متباينين: تفاعلات الاستطارة المرنة (Elastic scattering) والتي تبقى بها كل من الجسيمات المتفاعلة وطاقة الحركة قبل وبعد التفاعل محفوظة لا تتغير، وتفاعلات الاستطارة غير المرنة (Non-elastic scattering). في النوع الثاني من هذه التفاعلات قد يحدث تغير لطاقة النوى المشتركة في التفاعل دون حدوث تغير في عدد بروتوناتها ونيوتروناتها فيسمى التفاعل في هذه الحالة تفاعل الاستطارة اللامرنة (Inelastic scattering) وقد تحدث هنا إثارة لإحدى النواتين المتصادمتين أي إثارة مفردة (Single excitation) أو تحدث الإثارة لكليهما فتكون الإثارة متبادلة (Mutual excitation) أما في حالة حدوث تبادل للنيوكليونات (بروتونات أو نيوترونات) فيما بين النواتين المتفاعلتين بحيث تتولد نواتان جديدتان من التفاعل فعندئذ يسمى تفاعل إعادة الترتيب (Rearrangement reaction) وسنذكر بعض أنواع التفاعلات التي يمكن تفسيرها في ضوء نظرية التفاعلات المباشرة وهي [3-5]:

أ- الاستطارة اللامرنة:

وهنا يفقد الجسيم الساقط بعض طاقته وتأخذها النواة الهدف ، ومن ثم تتحول إلى نواة مثارة بينما ينطلق الجسيم الساقط خارجاً بطاقة معينة ، ومن الأمثلة على هذا التفاعل : تفاعلات (p,p') .

ب- تفاعل الطرد Knockout reaction :

عندما يتصادم الجسيم مع الهدف فإنه يسبب انطلاق بعض الجسيمات من الهدف نتيجة لانتقال الطاقة من الجسيم إلى الهدف ، ومن الأمثلة على هذا التفاعل : تفاعلات (p,n) و (n,p)الخ.

ج- تفاعل الانتزاع Stripping reaction :

عندما تتصادم جسيمات ذات طاقة ترابط نووي صغيرة كالديوترون مع هدف ما فإن النواة الهدف تتمكن من انتزاع بعض الجسيمات من القذيفة بينما يستمر باقي القذيفة في حركته متجاوزاً النواة الهدف حيث تنطلق البروتونات أو النيوترونات ، ومن الأمثلة على هذه التفاعلات : تفاعلات (d,p) و (d,n) .

د- تفاعل الالتقاط Pick-up reaction :

هذا التفاعل هو عكس تفاعل الانتزاع حيث يلتقط الجسيم الساقط على الهدف بعض الجسيمات النووية وبالتالي يغادر النواة كجسيم اخر ، ومن الأمثلة على هذه التفاعلات : تفاعلات (p,d) و (p,α) .

1.3 كثافة المادة النووية :

Nuclear matter density

يقصد بكثافة المادة النووية عدد النيوكليونات في وحدة الحجم ، أو بشكل أكثر شمولية فإن دالة

الكثافة النووية تعني كيفية توزيع المادة النووية حول مركز النواة [2,5].

إن غالب معرفتنا المباشرة بالكثافة النووية يرد إلينا من دراسة استقطار الإلكترون ذي الطاقة العالية (High energy electron scattering) والتي نستقي من نتائجها كثافة الشحنة النووية، وبالتالي نستطيع التعرف على توزيع البروتونات داخل النواة. أما بالنسبة لتوزيع النيوترونات داخل النواة فالتعرف عليه يعد أكثر صعوبة نظرا لتعادل شحنة النيوترونات، ولكن بالنسبة للنوى الخفيفة التي يتوفر فيها تساوي عدد البروتونات Z مع عدد النيوترونات N فلا ضير أن نعتبر أن توزيع البروتونات والنيوترونات لتلك النوى صنوان. أما بالنسبة للنوى التي يكون لها $N > Z$ فإن دالة توزيع النيوترونات تحتاج لمعالجة أكثر دقة حيث سيكون جذر متوسط مربع نصف القطر لدالة توزيع النيوترونات أكبر من نظيره للبروتونات.

إن كثافة المادة النووية الكلية $\rho(r)$ هي ناتج جمع كثافتي البروتونات $\rho_p(r)$ والنيوترونات $\rho_n(r)$. ولكل النوى الذرية تكون كثافة كل من البروتونات والنيوترونات أو النيوكليونات بشكل عام ثابتة القيمة تقريبا عند مركز النواة ($r = 0$) والمناطق المجاورة حوله، فنجـد أن كثافة المادة النووية الكلية تتأرجح قيمتها حول $\rho_0 = 0.17 \text{ fm}^{-3}$ ، ثم سرعان ما تضمحل بحددة كلما ابتعدنا عن المركز - أي كلما زاد البعد (r) - واتجهنا نحو سطح النواة. ولقد وضعت صور رياضية وضعية (Empirical) متباينة استخدمت لتحاكى سلوك تغير توزيع النيوكليونات داخل النواة مع تغير البعد عن مركز النواة [3,4] نذكر فيما يلي أعلاها صيغتها وأكثرها استخداما.

1.3.1 صيغة فيرمي (Fermi (FM form):

هذه الصيغة تتمثل بالعلاقة الآتية

$$\rho(r) = \rho_0 / [1 + \exp(\frac{r - c}{a})] \quad \text{fm}^{-3} \quad (1-1)$$

حيث ρ_0 هي أعلى قيمة للكثافة بوحدة fm^{-3} وهي بالكاد تساوي قيمة الكثافة عند مركز النواة ($r = 0$)، c نصف قطر النواة بوحدة fm والذي تتراجع عنده قيمة الكثافة إلى نصف قيمتها العظمى أي $\rho(c) = \rho_0 / 2$ ، أما a فهو معلم (بارامتر) الانتشارية (Diffuseness parameter) للدالة بوحدة fm . وعادة ما نقيم نصف قطر النواة من خلال العلاقة الخطية $c \sim 1.1 A^{1/3}$ حيث A هو العدد الكتلي للنواة. وقد تسمى الصيغة (1-1) بصيغة فيرمي ذات المعلمين (Two-parameters Fermi form). المعلمان هما (c, a) أو بصيغة وودز- ساكسون (Woods-Saxon). الشكل (1-1) يوضح التغير نصف القطري لهذه الدالة، ومدلول المتغيرات الثلاثة ρ_0 و c و a على سلوك الدالة.

1.3.2 الصيغة الجاوسية Gaussian form :

هذه العلاقة مبسطة حيث أنها تعتمد على متغير واحد وتكون في الصورة

$$\rho(r) = \rho_0 \exp(-r^2/k^2) \quad \text{fm}^{-3} \quad (1-2)$$

حيث k هو معلم المدى (Range parameter) بوحدة 0fm

1.3.3 صيغة المتذبذب التوافقي Harmonic oscillator (HO) form :

تتعين الكثافة المعبر عنها بهذه الصيغة بالعلاقة التالية

$$\rho(r) = \rho_0 [1 + \omega r^2] \exp(-ar^2) \quad \text{fm}^{-3} \quad (1-3)$$

حيث α ، ω ثابتان بوحدة fm^{-2} . تتعين الثوابت ω ، α ، c ، a ، k في الصيغ السابقة من مضاهاة (مطابقة) (Fitting) القيمة النظرية لجذر متوسط مربع نصف القطر (Root mean square (rms) radius) الناتجة من العلاقة

$$rms\ radius = \langle r^2 \rangle^{1/2} = \left[\frac{\int \rho(r) r^4 dr}{\int \rho(r) r^2 dr} \right]^{1/2} \quad \text{fm} \quad (1-4)$$

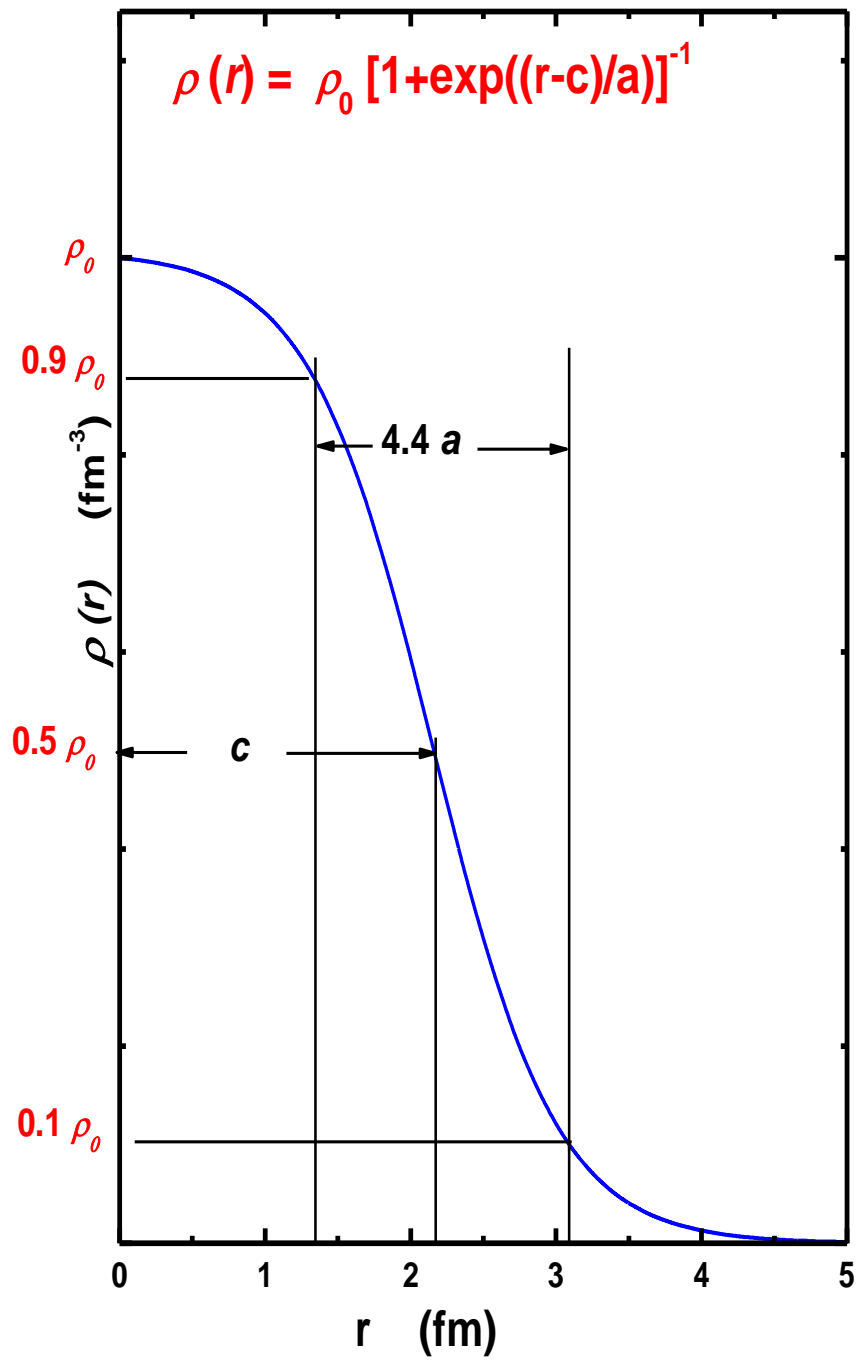
مع القيمة الناتجة من القياسات العملية لاستطارة الإلكترون من النواة. أما قيمة ρ_0 فتتعين من شرط العيارية (Normalization condition) بالعلاقة

$$\int \rho(r) d\vec{r} = A \quad (1-5)$$

وطبقا للعلاقة (1-5) فإن قيمة ρ_0 في العلاقة (1-1) يمكن أن تعطى بالعلاقة الآتية

$$\rho_0 \cong \frac{3A}{4\pi} / (c^3 + \pi^2 a^2 c) \quad \text{fm}^{-3} \quad (1-6)$$

أما قيمتي ρ_0 المستنتجتين من العلاقتين (1-2) و (1-3) على الترتيب فهما



الشكل (1-1): التوزيع نصف القطري (Radial distribution) للكثافة النووية

تبعاً لدالة فيرمي ذات المعلمين

$$\rho_0 = \frac{A}{\pi^{3/2} k^3} \quad \text{fm}^{-3}, \quad (1-7)$$

$$\rho_0 = \frac{A \alpha^{3/2}}{\pi^{3/2}} / \left[1 + \frac{3\omega}{2\alpha} \right] \quad \text{fm}^{-3} \quad (1-8)$$

وباستخدام العلاقة (1-4) يمكن الحصول على قيمة جذر متوسط مربع نصف قطر النواة من الصيغ

الثلاث (1-1) و(1-2) و(1-3) على الترتيب على النحو التالي

$$\langle r^2 \rangle^{1/2} \equiv \sqrt{\frac{3}{5}} c \left[1 + \frac{7\pi^2 a^2}{3c^2} \right]^{1/2} \quad \text{fm}, \quad (1-9)$$

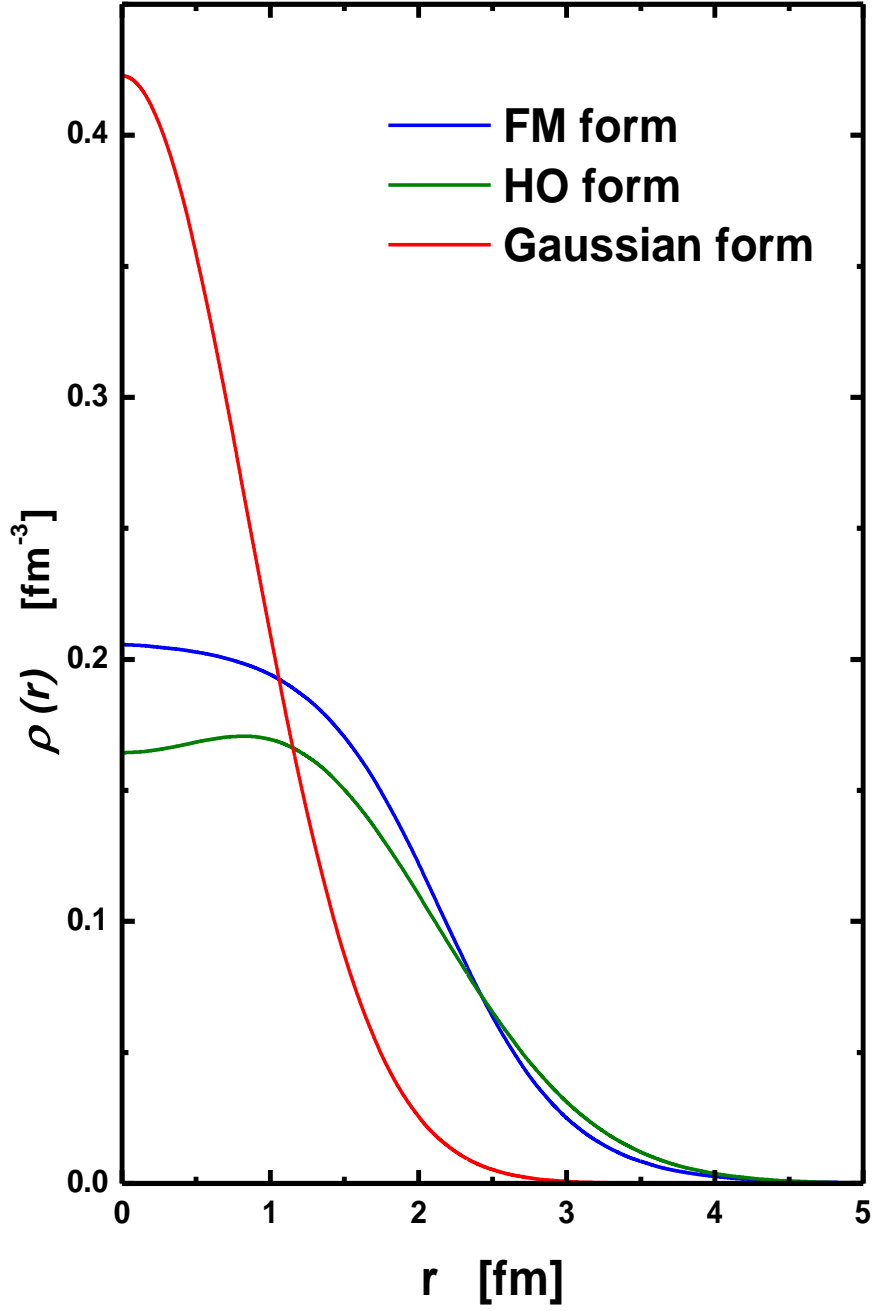
$$\langle r^2 \rangle^{1/2} = \sqrt{1.5} k \quad \text{fm} \quad (1-10)$$

$$\langle r^2 \rangle^{1/2} = \left[\frac{3(1 + 2.5\omega / \alpha)}{3\omega + 2\alpha} \right]^{1/2} \quad \text{fm} \quad (1-11)$$

وعادة ما تستخدم الصيغة (1-1) للنوى الثقيلة والمتوسطة بينما تستخدم الصيغة (1-2)

للنوى الخفيفة ($A \leq 4$) ، أما الصيغة (1-3) فغالبا ما تصلح للنوى المتوسطة (A~10-30) [5-7] 0

وهناك أيضا صور أخرى لوصف كثافة النواة تستنتج من حسابات النموذج القشري (Shell model) الذي سنذكره لاحقا [2] الشكل (1-2) يعرض مقارنة بين الصيغ الثلاث للتعرف على سلوك كل منها.



الشكل (1-2) : مقارنة بين دوال الكثافة الثلاث فيرمي والمتذبذب التوافقي والجاوسية الممثلة لنواة

الكربون 12.

1.3.4 صيغة فيرمي المعدلة (Modified Fermi form):

وقد تسمى هذه الصيغة أيضا صورة فيرمي ذات المعامل الثلاثة (Three-parameters Fermi form) وكما هو واضح من اسمها أنها صورة معدلة من صياغة فيرمي المعروفة بالعلاقة (1-1)، وتكون في الصياغة الآتية

$$\rho(r) = \rho_0 (1 + br^2) [1 + \exp(\frac{r-c}{a})]^{-1} \quad \text{fm}^{-3} \quad (1-12)$$

نلاحظ هنا أننا إذا وضعنا $b = 0$ سنحصل على العلاقة (1-1).

1.3.5 الصيغة الجاوسية المعدلة (Modified Gaussian form):

وبالمثل هذه الصورة معدلة من الصيغة جاوسية (1-2) وتكون على الشكل التالي

$$\rho(r) = \rho_0 (1 + br^2) [1 + \exp(\frac{r^2 - c^2}{k^2})]^{-1} \quad \text{fm}^{-3} \quad (1-13)$$

ويمكن أن يعبر عن توزيع المادة النووية داخل نواة عنصر ما بأكثر من صيغة. ولكن عادة ما تستخدم الصيغتين الأخيرتين (1-12) و (1-13) للنوى المتوسطة حيث $A=12-90$. فعلى سبيل المثال نجد أن نواة متوسطة الثقل مثل نواة الكربون 12 قد استخدم للتعبير عن كثافتها الصيغ الثلاث: صيغة

المتذبذب التوافقي وصيغة فيرمي وصيغة المعدلة كما أوضحنا في الشكل (1.1)، بينما نجد في المقابل النواة الثقيلة الرصاص 208 لا يستخدم للتعبير عنها إلا صيغة فيرمي. وتجدر الإشارة إلى أن النيوكليون (بروتون أو نيوترون) المنفرد يعامل - للتبسيط - على أنه جسيم نقطي، وبالتالي يمكن تمثيل كثافة المادة النووية لهذا الجسيم بدالة دلتا ديراك (Dirac delta function) أي

$$\rho_{proton}(r) = \rho_{neutron}(r) = \delta(r) \text{ fm}^{-3} \quad (1-14)$$

ومن سمات دالة ديراك أنها أيضا تحقق شرط العيارية حيث

$$\int \delta(r) d\vec{r} = 1 \quad (1-15)$$

1.4 نماذج التركيب النووي:

Nuclear Structure Models

لقد أجريت الكثير من التجارب لتفسير الظواهر النووية لكنها من التعقيد بمكان بحيث لم يكن بالإمكان حتى الآن إنشاء نظرية مفصلة وشاملة للنوى، وبالتالي فالمشكلة أكثر تعقيدا مما هي عليه للذرة وذلك لسببين:

1- إن القوة النووية نفسها ليست مفهومة مثلما هو حال قوة كولوم، إن دور القوة النووية هو ربط مكونات

النواة أما قوة كولوم فهي خاصة بربط النواة بالإلكترونات الذرة 0

2- إن تفاعل القوة المركزية بين الإلكترونات والنواة هو المسيطر في الذرة، بالمقارنة فإن النواة هي نظام

متعدد الجسيمات دون وجود تفاعل قوة مركزية ظاهرة 0

وبالرغم من ذلك فقد اقترح الباحثون عدد من النماذج أو نظريات ابتدائية محددة التطبيق، كل نموذج يستطيع وصف مدى معين من الصفات النووية وإلى الآن لازالت المحاولات جارية نحو تطوير نموذج شامل للنواة ، ومن أهم النماذج النووية [2,5]:

1.4.1 نموذج قطرة السائل (Liquid Drop Model):

يعتبر من أقدم النماذج النووية اقترحه نيلز بوهر عام 1937م ، فقد تصور بوهر النواة وكأنها قطرة من السائل حيث تسلك النيوكليونات داخل النواة نفس سلوك جزيئات السائل (molecules) داخل قطرة السائل ، أي أن هناك تشابه كبير بين نواة الذرة وقطرة السائل ، ويمكن ذكر الفروض التي بنى عليها هذا النموذج كالاتي:

1- جميع الأنوية لها كثافة نووية واحدة وأن المادة النووية غير قابلة للانضغاط كقطرة السائل ومن ثم

$$\text{فإن نصف قطر النواة } R \text{ يتناسب مع } A^{1/3} \text{ أي أن } R = R_0 A^{1/3}.$$

2- لاتعتمد القوى النووية المؤثرة بين البروتونات أو النيوترونات على الشحنة الكهربائية، وهذه خاصية ذاتية للنواة، أي أن القوى بين أزواج البروتونات تساوي القوة بين أزواج النيوترونات و0على كل حال هناك قوة تنافر كهربية بين البروتونات ولكن هذه القوة ذات مدى كبير بالمقارنة مع القوة النووية ذات المدى القصير، كما وأن القوة النووية هي قوة تجاذب كبيرة جداً بالمقارنة مع القوة الكهربائية الضعيفة0

3 - القوة النووية ذات طبيعة تشبعية Saturated كما هو الحال في الرابطة الكيميائية، حيث يتفاعل النيوكليون مع عدد محدد من النيوكليونات المحيطة به. وهكذا نجد أن القوة النووية تختلف عن القوى الكهربائية بين الشحنات إذ أن الأخيرة تخضع لقانون التربيع العكسي وتعمل عند أي بعد، أما القوة النووية فذات طبيعة تشبعية0

ولعل أهم نجاح حظي به هذا النموذج هو استطاعته حساب كتلة النواة وذلك باستخدام معادلة طاقة الترابط النووي ، ومن أجل ذلك لابد من معرفة ما المقصود بطاقة الترابط النووي؟ تعرف طاقة الترابط النووي على أنها الطاقة التي تُفقد عند تكوين النواة من مكوناتها الأساسية (البروتونات والنيوترونات) كما ويمكن تعريفها أيضاً على أنها الطاقة اللازمة لتفكيك النواة إلى مكوناتها الأساسية 0 ووفق معادلة أينشتاين فإن:

$$\Delta E = \Delta mc^2$$

حيث ΔE هي الطاقة الناتجة عن تحول الكتلة Δm

فإذا كانت لدينا نواة كتلتها ${}^A_Z M$ وكتلة البروتونات الموجودة فيها هي Zm_p (حيث m_p هي كتلة البروتون الواحد) وكتلة النيوترونات الموجودة بها هي Nm_n (حيث m_n هي كتلة النيوترون الواحد) فإن فرق الكتلة Δm يعطى بالعلاقة :

$$\Delta m = [(Zm_p + Nm_n) - {}^A_Z M]$$

ومنها ينتج أن طاقة الترابط النووي B تعطى بالعلاقة :

$$B = [(Zm_p + Nm_n) - {}^A_Z M]c^2$$

وهذه المعادلة تمكننا من حساب طاقة الترابط النووي لأي نواة لو عرفت كتلتها وكتل مكوناتها، وتقدر القيم السابقة بوحدات الكتل الذرية (و ك ذ) (amu)، وحيث أن هذه الوحدة تعادل 931.5 MeV فإنه يمكن حساب B مباشرة بوحدات الطاقة وذلك من العلاقة :

$$B = [(Zm_p + Nm_n) - {}^A_Z M] \times 931.5 \text{ MeV}$$

يمكن حساب طاقة الترابط النووي لكل نيوكليون (B/A) وتساوي خارج قسمة طاقة الترابط النووي الكلية للنواة على مجموع عدد البروتونات والنيوترونات بها (أي عدد الكتلة A) حيث نجد أن هذه القيمة تتراوح

بين (7.5 - 8.5 MeV) لمعظم العناصر ، وذلك باستثناء عدة عناصر خفيفة. وبإضافة بعض الحدود للمعادلة السابقة لتصحيح الكتلة تبعاً لنموذج قطرة السائل (حيث يختص الحد الأول المضاف بالحجم والثاني بالتوتر السطحي والثالث بتأثير كولوم والرابع يسمى حد التماثل والخامس حد التزاوج والسادس حد القشرة المهمل عادة) نحصل على الصورة النهائية لمعادلة طاقة الترابط النووي وهي كالاتي:

$$B = 15.7A - 17.8A^{2/3} - \frac{0.6Z^2}{A^{1/3}} - \frac{20(N - Z)^2}{A} \pm \frac{125}{A}$$

1.4.2 نموذج القشرة النووية (Shell Model):

في هذا النموذج يمكن تصور النواة على أنها تتألف من نيوكليونات تترتب في أغلفة معينة مثله في ذلك مثل الأغلفة الذرية للإلكترونات، ويتحرك كل نيوكليون حركة مستقلة عن الآخر ولكنها تتحرك جميعها في المجال (الجهد) النووي الناتج عنها جميعاً ، أي أن كل نيوكليون يتأثر بمجال النواة ككل بدلاً من التأثر بمجالات النيوكليونات المنفردة كما هو الحال في (نموذج قطرة السائل). هذه الصفة أدت في نموذج القشرة النووية إلى أن تتشابه الحالة النووية مع الحالة الذرية في الحالة الذرية ، نجد أن الإلكترونات تتواجد في حالات كمية دورية معينة وأنه لا يمكن لأكثر من الكترون أن يشغل نفس الحالة الكمية (ذلك لأن الإلكترونات عبارة عن فيرميونات أي تخضع لمبدأ باولي للاستبعاد) 0 فالإلكترونات في الذرة تشغل قشرات تتحدد بأعداد كمية معينة، كما أن درجة إشغال القشرة الخارجية تحدد الصفات الكيميائية للذرات فقد وجد أن القشرات الخارجية للذرات ذات الأعداد الذرية (Z=2,10,18,36,54,86) تكون مشبعة وبالتالي تكون التراكيب الإلكترونية لهذه الذرات الأكثر استقراراً. وهذا يفسر صفة الخمول

للغازات النادرة حيث تكون مدارات هذه الذرات مقفلة وتكون الذرات مستقرة بصورة كبيرة وجهد تأينها كبير مقارنة مع العناصر التي قبلها أو بعدها في الجدول الدوري 0

إن التركيب النووي - طبقاً لنموذج القشرة النووية - يماثل التركيب الذري من حيث تواجد النيوكليونات داخل النواة في مدارات (مثل مدارات الالكترونات)، وقد وجد أيضاً أن الأنوية الأكثر استقراراً هي الأنوية التي لها رقم محددة للعدد الذري Z أو لرقم الكتلة A . لقد لوحظ أن بعض الأنوية تتمتع باستقرار كبير وهي تلك التي تحتوي على الأعداد:

(2,8,20,28,50,82,126,184) من البروتونات أو النيوترونات وقد أطلق على هذه الأرقام الأرقام السحرية (Magic numbers) ويطلق على الأنوية التي تحتوي على هذه الأعداد السحرية بالأنوية السحرية (Magic nuclei) 0

1.4.3 النموذج الضوئي (Optical model):

عندما تقترب نواة مركبة (أو حتى نيوكليون واحد) من نواة أخرى في مدى قصير يسمح بظهور تأثير القوى النووية فإن معالجة هذه المسألة عديدة الجسيمات (Many-body problem) يكون معقداً جداً من وجهة النظر الرياضية، لذلك يتم تقريب هذا الوضع لمسألة خاصة بجسيمين (Two-body problem) هما القذيفة والنواة مع إهمال التركيب الداخلي لأي منهما، وهذا التبسيط يمكن أن يتحقق بافتراض وجود جهد نووي بين النواتين المتصادمتين هو ما يسمى بجهد أيون-أيون (Ion-ion potential)

ولقد وضع فيشباخ (Feshbach) [5] نموذجاً عرف فيما بعد بالنموذج الضوئي النووي (Nuclear optical model) صار من أنجح وأبسط النماذج التي تعالج هذا الوضع حيث ظهرت فكرة استخدامه أولاً لتحليل تفاعل نيوكليون مع نواة ثم سرعان ما تطور ليعالج التفاعل بين نواتين مركبتين عند

طاقات مختلفة [4]. لقد تم تطبيق هذا النموذج خلال الخمسين سنة الأخيرة بنجاح ملموس نسبياً لتحليل نتائج تفاعلات قذائف البيونات (Pions) والقذائف المركبة (Composite projectiles) [6-8].

عندما وضع النموذج الضوئي كان المقصود منه تحليل الاستطارة المرنة للتفاعل ولكن نظراً لوجود امتصاص لبعض أجزاء شعاع القذيفة الساقط فكان لابد من أن يؤخذ هذا الأمر في الاعتبار، لذلك افترض وجود جهد نووي مركب بحيث أن الجزء الحقيقي منه يعالج الاستطارة المرنة بينما يكون الجزء التخيلي مسؤولاً عن تفسير الامتصاص الذي حدث في حزمة جسيمات القذيفة عند سقوطها على نواة الهدف، وهذا الوضع يشبه إلى حد كبير ما يحدث لشعاع ضوئي يسقط على كرة بلورية من مادة عاكسة كاسرة فيحدث أن ينعكس جزء من هذا الشعاع بينما يمتص جزء آخر منه ولذلك يتم التعامل رياضياً مع معامل انكسار مركب لهذه المادة حتى يمكن تفسير الجزء الذي امتص من الشعاع الساقط ومن هنا جاءت تسمية النموذج الضوئي النووي للتماثل بين ما يحدث للشعاع النووي الساقط والشعاع الضوئي الساقط من انعكاس وامتصاص في أن واحد [6]0

ولتفسير التشتت والامتصاص الناتج للجسيمات يفترض أن الجهد النووي يتكون من جزئين ، أحدهما حقيقي $V(R)$ وهو المسؤول عن تشتت الجسيمات الساقطة على النواة والآخر تخيلي $W(R)$ وهو المسؤول عن امتصاص الجسيمات 0 وبالتالي يكتب الجهد النووي $U(R)$ على الصورة :

$$U(R)=V(R)+iW(R) \quad (1-16)$$

بذلت محاولات دؤوب للتعرف على الشكل الرياضي الدقيق للقوة النووية التي تجذب جسيم نووي لجسيم نووي آخر، حتى يتسنى الاستدلال على طاقة الوضع (Potential energy) النووية فيما بينهما أو الجهد النووي، ولكن للأسف إلى يومنا هذا لم يهتد الباحثون إلى نموذج جهد شامل (Global potential model) يصدق حدسه في تأويل وتفسير ما تقدمه لنا دراسة عملية عن تصادم أي نواتين. إن

من أنجح التصورات التي روعيت عند وصف النتائج العملية المستخلصة من التفاعلات النووية هو افتراض وجود جهد بين الأيونين المتفاعلين (Ion-ion potential) لتفسير السمات المشتركة للتفاعلات النووية مثل الاستطارة المرنة والاستقطاب (Polarization) والامتصاص (Absorption). لقد صيغت صور رياضية ظاهرية (وضعية) (Phenomenological) [3,6-9] لوصف الجزء الحقيقي $V(R)$ من الجهد النووي، حيث R هي المسافة الفاصلة (Separation distance) بين نواتي القذيفة والهدف. أشهر هذه الصور صيغة وودز-ساكسون التي تصاغ كالاتي

$$V(R) = -V_0 / [1 + \exp(\frac{R - R_0}{a_0})]^n \quad \text{MeV} \quad (1-17)$$

حيث V_0 تمثل عمق (Depth) بئر الجهد (Potential well)، R_0 يمثل نصف قطر الجهد ويعين من العلاقة

$$R_0 = \begin{cases} r_0 A_T^{1/3} & \text{for } A_P \leq 4 \\ r_0 (A_P^{1/3} + A_T^{1/3}) & \text{for } A_P > 4 \end{cases} \quad \text{fm} \quad (1-18)$$

حيث r_0 معلم نصف القطر و A_P هو العدد الكتلي للقذيفة و A_T هو العدد الكتلي للهدف. أما a_0 فهو معلم انتشارية الجهد الحقيقي بوحدة fm. يؤخذ الأس n عادة بإحدى القيمتين 1, 2.

أيضا يصاغ الجزء التخيلي من الجهد في صورة وضعية في صورة جهد حجمي (Volume

$W_V(R)$ potential) كما بالعلاقة (1-17) أو جهد سطحي (Surface potential) W_S

(R) أو بتوليفة من كليهما في الصورة

$$W(R) = -W_V(R) - W_S(R) \\ = -(W_0 - 4W_S a_1 \frac{d}{dR}) [1 + \exp(\frac{R - R_1}{a_1})]^{-1} \quad \text{MeV} \quad (1-19)$$

حيث W_0 و W_S هما عمقا الجزأين الحجمي والسطحي على الترتيب، وتصاغ قيمة نصف القطر R_I بطريقة مماثلة لما تم في المعادلة (1-18) وقد تسمى الصيغة السطحية بالصيغة التفاضلية (Derivative). الشكل (1-3) يوضح مقارنة بين سلوكي جهدي وودز- ساكسون في الصورتين الحجمية والسطحية (التفاضلية) في العلاقة (1-19). نلاحظ من الشكل (1-3) أنه عندما $R=R_I$ فإن قيمة الجهد الحجمي تساوي نصف القيمة العظمى بينما تبلغ قيمة الجهد ذروته في حالة الصيغة السطحية، وهذا يوضح لماذا سميت هذه الصيغة بالسطحية حيث يسود الجهد على السطح وتتوارى قيمته في منطقة المركز عند $R=0$ الشكل يوضح أيضا تأثير تغيير قيمة معلم الانتشارية على سلوك كلا الصيغتين 0

ولقدائف ذات مغزلية غير صفرية يضاف أيضا جهد ناشيء عن الحركتين المغزلية والمدارية

يسمى الجهد المغزلي المداري (Spin-orbit potential). يعبر عن هذا الجهد بالعلاقة

$$V_{so}(R) = \left(\frac{\hbar}{m_\pi C} \right)^2 (V_{so} + iW_{so}) \frac{1}{R} \frac{d}{dR} [1 + \exp(\frac{R - R_{so}}{a_{so}})] \vec{L} \cdot \vec{\sigma} \quad \text{MeV(1-20)}$$

حيث V_{so} و W_{so} هما عمقا الجزأين الحقيقي والتخيلي لهذا الجهد على الترتيب، $\lambda_c = \left(\frac{\hbar}{m_\pi C} \right)$ هو

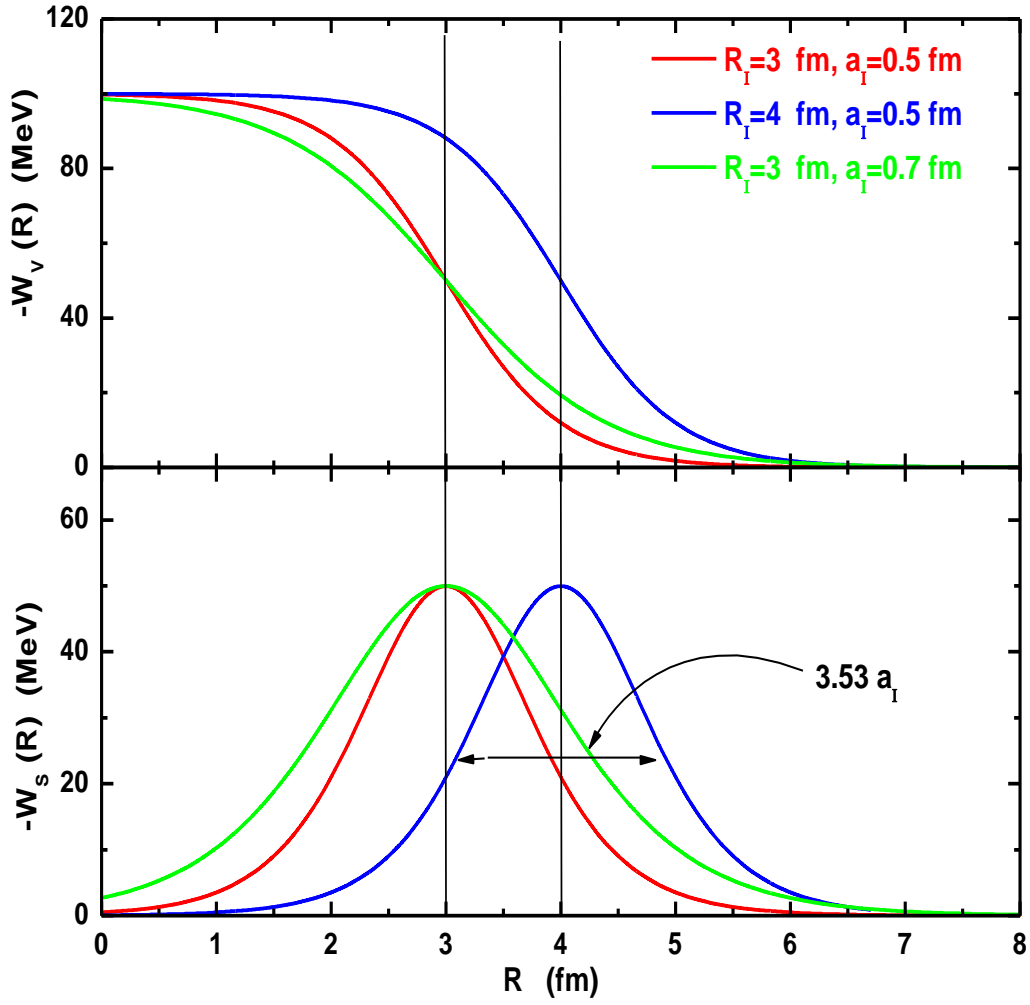
طول كمبتون الموجي للبيون (Pion Compton wavelength) ويساوي تقريبا $\sqrt{2}$ fm، m_π هي

كتلة البيون، \hbar ثابت بلانك C هي سرعة الضوء في الفراغ. $\vec{L} \cdot \vec{\sigma}$ هو الضرب القياسي لمتجهي

الحركتين المغزلية والمدارية. ولقد أشير في أكثر من دراسة [9,10] إلى أن المقطع المستعرض التفاضلي

للاستطارة المرنة يكاد يكون عديم الحساسية لوجود الجهد المغزلي المداري، بينما تظهر أهمية اعتبار هذا

الجهد عند دراسة استقطاب (Polarization) جسيمات ألفا.



الشكل (1-3): مقارنة بين صيغتي وودز- ساكسون الحجمية والسطحية في العلاقة (1-19)

كذلك لا ننسى اعتبار الجهد الكهروستاتيكي الناشيء عن تنافر شحنتي القذيفة والهدف الموجبتين

والذي يسمى بجهد كولوم (Coulomb potential) 0 وبافتراض أن الشحنة موزعة كرويا بانتظام فإننا

يمكن أن نعبر عن هذا الجهد في الصورة

$$V_c(R) = \begin{cases} \frac{Z_p Z_T e^2}{2R_c} \left(3 - \frac{R^2}{R_c^2}\right) & \text{for } R \leq R_c \\ \frac{Z_p Z_T e^2}{R} & \text{for } R \geq R_c \end{cases} \quad \text{MeV} \quad (1-21)$$

حيث يعين نصف قطر كولوم R_c تبعا للعلاقة (1-18) و Z_p, Z_T العددان الذريان هما لنواتي الهدف والقذيفة

على الترتيب 0

وبذلك وبناء على العلاقات المذكورة أعلاه يصبح الجهد الكلي المتبادل بين نواتي القذيفة والهدف

في الصورة

$$U(R) = V(R) + iW(R) + V_c(R) + V_{so}(R) \quad \text{MeV} \quad (1-22)$$

تضبط قيم المتغيرات $V_0, R_0, a_0, W_0, W_s, R_b, a_b, n, V_{so}, W_{so}, R_{so}, a_{so}$ في العلاقات

(1-21)-(1-17) لتعطي نتائج تتفق مع ما يتم الحصول عليه من القياسات التجريبية للاستطارة 0 ويستخدم

في هذه المعالجة حساب قيمة المعيار أو المحك (Criterion) χ^2 المعرف بالعلاقة

$$\chi^2 = \frac{1}{N_D} \sum_{i=1}^{N_D} \left[\frac{\sigma_{th}(\theta_i) - \sigma_{exp}(\theta_i)}{\Delta\sigma_{exp}(\theta_i)} \right]^2 \quad (1-23)$$

حيث $\sigma_{th}(\theta_i)$ هي القيمة المحسوبة نظريا للمقطع المستعرض التفاضلي عند الزاوية θ_i و $\sigma_{exp}(\theta_i)$

هي القيمة المناظرة مقاسة عمليا و $\Delta\sigma_{exp}(\theta_i)$ هي قيمة الخطأ في القيمة العملية و N_D هو عدد الزوايا

التي تم إجراء القياس عندها. إن الحصول على أصغر قيمة ممكنة لهذا المعيار يعني أفضل اتفاق بين

القيم المحسوبة نظريا والقيم المقاسة عمليا، وإن كان هذا المعيار ليس صادقا دائما [8,10] فقد يعوز

الباحث التمحيص بالرؤية المباشرة للتأكد من مدى الاتفاق بين نتائج كل من الحسابات النظرية والقيم العملية0

يشوب هذه الصيغ الوضعية كما هو واضح أعلاه تعدد المعالم الحرة (Free parameters) المستخدمة فيها. كما أدى وجود هذه المعالم الحرة إلى ظهور صنفين من المعوقات عرفت بالغموض (Ambiguities) في هذه الصيغ [10-12]، وهما الغموض المنفصلة (Discrete ambiguities) والغموض المتصلة (Continuous ambiguities). النوع الأول يعني الحصول على نفس التوافق مع القيم العملية من خلال استخدام عدد من مجموعات المعالم (Sets of parameters) المنفصلة أي غير مرتبطة ببعضها، وهنا يصعب الحكم على أي من المجموعات المستنتجة هي الأصدق في التعبير عن الجهد النووي. في النوع الثاني أيضا نحصل على التوافق مع القيم العملية رغم تغير أحد المعالم خلال مدى متصل معين نظير تغير مرافق في معلم آخر في نفس المجموعة، وهنا أيضا يحار الباحث أي القيم لهذه المعالم يختار ليحدد بها الجهد النووي قيد الدراسة. من أجل ذلك لجأ العديد من الباحثين [9-14] إلى التعامل مع صيغة مجهرية أي ميكروسكوبية (Microscopic) تستمد جوهرها من خلال استخدام تفاعل (تأثير) فعال لنيوكليون مع نيوكليون (Effective nucleon-nucleon interaction) يعمم على جميع تفاعلات أزواج النيوكليونات التي يكون فيها أحد الزوجين من نيوكليونات القذيفة والآخر من نيوكليونات الهدف، وهذا لا يتأتى إلا بتكامل هذا التفاعل مع كثافة المادة النووية لنواتي القذيفة والهدف. هذا ما اتفق على تسميته بجهد الطي المزدوج (Double folding potential). هذه المعالجة تشبه إلى حد كبير النهج الذي ننتهجه عندما نريد حساب الجهد الكولومي بين جسمين مشحونين فنلجأ إلى إجراء تكامل على

التأثير الكولومي (Coulomb interaction) [الذي يعبر عنه بدلالة $1/R$] مع كثافتي توزيع الشحنة لهذين الجسمين.

1.4.3 نموذج الطي (Folding model):

وضع الباحثون تصورا للجهد النووي المتبادل بين النواتين المتصادمتين سمي فيما بعد بنموذج الطي المزدوج (Double folding model) وذلك لاستخلاص صياغة (مجهرية) ميكروسكوبية لهذا الجهد. وهنا يشتق الجهد النووي من خلال طي (Folding) كثافتي المادة النووية (Nuclear matter densities) لنواتي القذيفة والهدف والتأثير الفعال لنيوكليون مع نيوكليون (Nucleon-nucleon interaction) لذلك يحسب جهد التفاعل من خلال التكامل الثنائي الممثل بالعلاقة التالية [8]:

$$V_{DF}(\mathbf{R}) = \int \rho_P(\mathbf{r}_1) \rho_T(\mathbf{r}_2) V_m(|\vec{R} - \vec{r}_1 + \vec{r}_2|) d\vec{r}_1 d\vec{r}_2 \quad \text{MeV} \quad (1-24)$$

حيث ρ_T, ρ_P

هما كثافتي القذيفة و الهدف على الترتيب، V_m هو التفاعل لنيوكليون من القذيفة مع نيوكليون من الهدف

0 نلاحظ هنا أن العنصرين الحجميين يجعلان التكامل في

العلاقة السابقة سداسيا حيث أن

$$d\vec{r}_1 = \int_0^{\infty} r_1^2 dr_1 \int_0^{\pi} \sin \theta_1 d\theta_1 \int_0^{2\pi} d\phi_1 \quad \text{fm}^3 \quad (1-25)$$

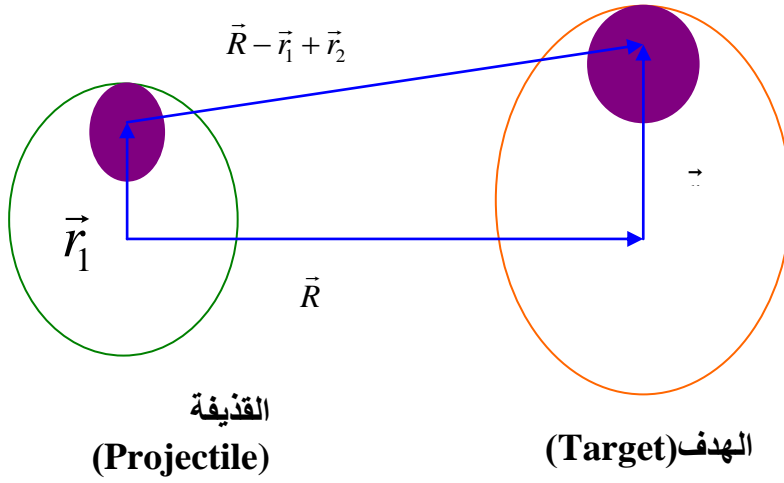
وبالمثل للعنصر التفاضلي الثاني $0 d\vec{r}_2$

ولقد استخدم هذا النموذج بنجاح ملموس في تحليل كثير من نتائج التفاعلات النووية [8,10-14] أما إذا كانت القذيفة المستخدمة في التفاعل بروتونا أو نيوترونا فيمكن صياغة علاقة الجهد في إطار الطي المنفرد (Single folding model) على النحو التالي

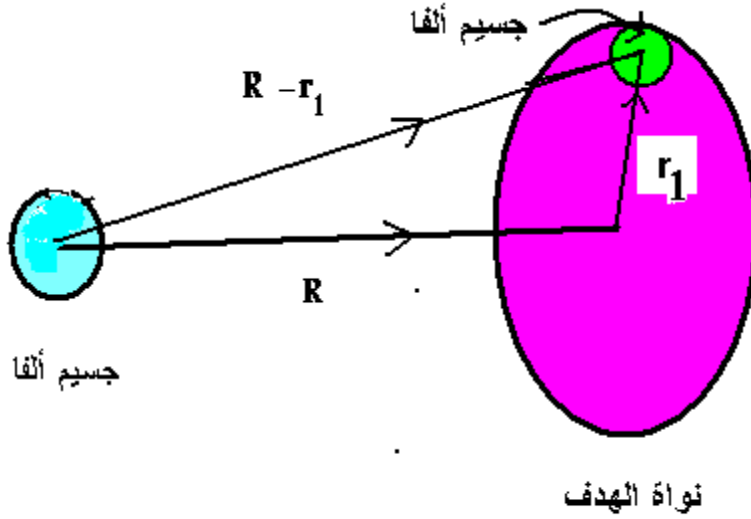
$$V_{SF}(\mathbf{R}) = \int \rho_T(r_2) V_{nn}(|\mathbf{R} - \mathbf{r}_2|) d\mathbf{r}_2 \quad \text{MeV (1-26)}$$

الشكلان (1-4) و(1-5) يوضحان الإحداثيات المستخدمة في نموذجي الطي المزدوج

والطي المنفرد على الترتيب



الشكل (1-4): الإحداثيات المستخدمة في نموذج الطي المزدوج 0



الشكل (1-5) : الإحداثيات المستخدمة في نموذج الطي المنفرد.

نجد أن تمثيل نواتي القذيفة والهدف قد أخذ في الاعتبار في نموذج الطي المزدوج بينما تمثيل كثافة نواة القذيفة قد أهمل تماماً في نموذج الطي المنفرد (هذا النموذج مفيد للتطبيق في حالة تفاعل نيوكليون أو جسيم ألفا مع نواة الهدف حيث تكون دالة الكثافة النووية الوحيدة المستخدمة هي لنواة الهدف فقط).

تجدر الإشارة إلى أن الجهد النووي المركب يلعب في معادلة شرودنجر للجسيم الواحد (One-body Schrödinger equation) دور طاقة الوضع كما ذكرنا أعلاه، وعندما يكون الجهد التخليبي كبيراً جداً يكون الامتصاص قوياً (Strong absorption) وينظر عندئذ لنواة الهدف على أنها معتمة (Black) وفي هذه الحالة يتحدد المقطع المستعرض للتفاعل (Reaction cross section) بدلالة نصف قطر النواة، بينما نجد في المقابل أنه عندما يكون الامتصاص ضعيفاً يكون المقطع المستعرض معتمداً على كلا الجهدين الحقيقي والتخليبي وعندها تظهر على سلوك المقطع المستعرض تأثيرات التداخل المميزة (Characteristic interference effects). إن كلا الجزأين الحقيقي والتخليبي من الجهد

المركب يشوهان (Distort) ويُحيدان (Diffract) موجة القذيفة الساقطة وبالتالي كلاهما يشارك في تعيين قيمة سعة الاستطارة المرنة (Amplitude) التي سنناقشها تفصيلا في بند لاحق 0 يكون الجهد الحقيقي عند الطاقات المنخفضة مشابها للجهد المستخدم في حالة النموذج القشري النووي، والجهد التخيلي يؤثر على الموجة الساقطة ويضعفها 0 ويلاحظ أنه في حالة الطاقات المنخفضة يكون التوهين (الإضعاف) (Attenuation) الحادث في الحزمة الساقطة سائدا بالقرب من السطح النووي (Nuclear surface)، وربما يرجع ذلك إلى أن الجهد التخيلي في هذه الحالة يكون أكبر عند السطح النووي منه داخل النواة 0 إلا أنه مع زيادة الطاقة نجد أن امتصاص الموجة الساقطة يحدث بشكل منتظم خلال كل حجم النواة وليس عند السطح فقط.

1.4.4 نموذج ألفا العنقودي (Alpha-cluster model):

مما لا شك فيه أنه - من حيث المبدأ على الأقل - من الأفضل التعامل مع النيوكليونات المكونة للنواة بذاتها، حيث أن ذلك يقودنا إلى المعالجة الدقيقة لتركيب النواة. لكن الطبيعة الخاصة لجسيم ألفا من حيث طاقة الربط العالية (28 MeV) بالنسبة للنوى المجاورة له في قيمة العدد الكتلي A وظهوره كأحد الإشعاعات النووية الطبيعية، ووجوده في منطقة تفصل بين النوى الخفيفة مثل البروتون والنيوترون والديوترون والترايتون والهيليون ($A < 4$) وبين النوى الثقيلة حيث $A > 4$ ، كل هذا جعل العلماء يفكرون في التعامل مع هذا الجسيم كجسيم شبه أولي. ومن هنا نشأت فكرة تصور التركيب العنقودي بجسيمات ألفا (Alpha cluster structure) للنوى منذ عام 1937م [15]. ولقد لاقى هذه الفكرة ترحيبا ونجاحا كبيرين بعد ذلك [16-22].

يعتمد هذا النموذج على الفرض الذي يقتضي أن جسيمات ألفا تكون مجموعات (عناقيد) داخل النواة ولا يلزم أن تبقى جسيمات ألفا حرة، ولكن يمكنها أن تتبادل النيوكليونات فيما بينها. ولقد تأكد هذا

السلوك بشكل ملموس في منطقة سطح النواة حيث تجنح النيوكليونات للتحوصل في شكل عناقيد ألفوية 0 لكن هذا لم يثبت في المنطقة الداخلية للنواة [16]. ولا يفوتنا أن ننوه إلى أن التركيب العنقودي متمثل أيضا في التركيب الأساسي للنيوكليونات، باعتبار أن كل نيوكليون عبارة عن عنقود مكون من ثلاثة جسيمات كواركية (Quarks)، وهذا التركيب يتم التعامل معه بالفعل ولكن في تفاعلات النوى الثقيلة عند الطاقات العالية جدا 0

ولقد ظهرت فوائد نموذج ألفا العنقودي جلية مع النوى المتوسطة ذات العدد الكتلي $A=12-40$ ، عندما أمكن تمثيل العدد الكتلي A بالمقدار $4n_\alpha$ حيث أن n_α عدد صحيح (3-10)، فكما ذكرنا أعلاه أنه يمكن اعتبار نواة الكربون 12 مثالا لنظام مكون من ثلاثة جسيمات ألفا بينها تفاعل ضعيف وسمي هذا الوضع بتركيب ألفا العنقودي لنواة الكربون 12 ($^{12}C=3\alpha$) وكذلك للنوى الأخرى الأوكسجين 16 ($^{16}O=4\alpha$) والذي أمكن تطبيقه على نوى المغنسيوم-24 والسيليكون-28 والكبريت-32 وكذلك الكالسيوم-40 فتتمثل بالتراكيب ($^{24}Mg=6\alpha$, $^{28}Si=7\alpha$, $^{32}S=8\alpha$, $^{40}Ca=10\alpha$). أيضا يمكن تصور النواة على أنها ممثلة بالتركيب $4n_\alpha+d$ حيث $d=1-3$ [20,21].

إلا أنه لوحظ ظهور قصور كبير في تطبيق هذا النموذج في المدى المحدود ($n_\alpha=2$) لنواة البيريليوم 8 (8Be) فهي نواة غير مستقرة للغاية وتتحل إلى جسامين من جسيمات ألفا ولكن تبعاً لنموذج جسيم ألفا يجب أن تكون مثل هذه النواة مستقرة. وعلى وجه الخصوص فلقد نجح هذا النموذج نجاحاً ملحوظاً في معالجة النوى ذات الأعداد الكتلية $A=4n_\alpha+1$ وذلك باعتبارها تركيبات مقفلة عددها n_α غير أن النموذج فشل تماماً في حالات الأنوية ذات الأعداد الكتلية $A=4n_\alpha-1$ [21] 0

ولقد نجح هذا التصور - بالرغم من غياب التفسير المناسب لكثير من الظواهر النووية - في تحليل كثير من القياسات العملية لبعض التفاعلات النووية للنوى التي وصفت بتركيب ألفا العنقودي 0

والعجيب في الأمر أن نموذج ألفا العنقودي سجل نجاحا جديدا مع اكتشاف ظاهرة النوى الهالوية⁰ فلقد أمكن بنجاح وصف تركيب النواتين الهاليتين ^{6,8}He على أنهما $\alpha+2n$ ، $\alpha+4n$ على الترتيب [23]0 وانطلاقا من نموذج ألفا العنقودي يمكن صياغة جهد نواة - نواة في صياغة مماثلة لتلك التي عرضت لجهد الطي المزدوج (1-24) على النحو التالي

$$V(R) = \int \rho_P^C(r_1) \rho_T^C(r_2) V_{aa}(|\vec{R} - \vec{r}_1 + \vec{r}_2|) d\vec{r}_1 d\vec{r}_2 \quad \text{MeV (1-27)}$$

حيث ρ_P^C, ρ_T^C هما كثافتا توزيع جسيمات - عناقيد (Clusters) - ألفا داخل نواتي القذيفة و الهدف على الترتيب، V_{aa} هو التفاعل لجسيم ألفا من نواة القذيفة مع جسيم ألفا من نواة الهدف.

كما هو واضح من العلاقة (1-24) فإن اشتقاق جهد الطي المزدوج يُستمد من ثلاثة مدخلات رئيسية هي كثافتا نواتي القذيفة والهدف وتأثير النيوكليون - نيوكليون الفعال الذي يمثل لب الصياغة. ولقد عرضنا في البند (1-4) الصور المختلفة لكثافة النوى المتباينة. الآن نتساءل ما المقصود تحديدا بالتأثير الفعال للنيوكليون - نيوكليون؟ هذا ما سنحاول الإجابة عليه في البند التالي0

1.5 التأثير الفعال لنيوكليون مع نيوكليون:

إن التأثير (الجهد) المتبادل بين نيوكليون حر (غير مرتبط بنواة ما) وآخر مماثل له يعرف بالتأثير الأعزل أو المجرد (Bare interaction)0 هذا التأثير يصلح للاستخدام في تحليل استطرارة نيوكليون عن نيوكليون0 لكن ذلك التأثير يختلف عن نظيره الذي يظهر بين نيوكليونين مغمورين في وسطين نوويين، أي كلاهما مكوّن من مكونات النواة، حيث تظهر تأثيرات الوسط الداخلي (In-

medium effects) المحيط بكل منهما على شدة (Strength) التأثير المتبادل فيما بينهما. يسمى هذا الأخير بالتأثير الفعال أو الفعلي (Effective) [9].

إن النوع الأول من التأثير يكون دائما أشد - ربما قد يصل إلى الضعف أو أكثر - من التأثير في الحالة الثانية. لذلك لم يكن مجديا أن يستخدم تأثير النيوكليون - نيوكليون المجرد في اشتقاق جهد الطي المتبادل بين نواتي القذيفة والهدف حيث أن فيه تجاوزا للواقع بتجاهل الوسيطين النويين في النواتين المتصادمتين أي المحيطين بهذين النيوكليونين. ومن جهة أخرى هناك مفارقة أخرى يجدر الانتباه إليها وهي أن هذا التأثير المجرد يصبح تنافريا (Repulsive) عند المسافة البينية أقل من 00.5 fm لذلك كان من الأحرى أن يستخدم النوع الثاني (الفعال) لأن فيه تجسيد للقوة النووية الحقيقية المتبادلة بين نيوكليون في نواة القذيفة وآخر في نواة الهدف (Realistic nucleon-nucleon force) 0

من أجل ذلك فلقد استتبب الباحثون صورا متعددة لهذا التأثير الفعلي حتي يتسنى استخدامها في اشتقاق الصياغة الميكروسكوبية للجهد بين نواتين. ومن هذه الصور تأثيرات اختصرت مسمياتها للتيسير في الرموز التالية M3Y [8,10,24] و DDM3Y [10-14,25] و JLM [13,26-28] و S1Y [13,29] و KH [13,30] و SBM [31-33] وغيرها.

إن الدراسة الحالية ستبنى استخدام نموذج الطي المزدوج المبني على تأثير (JLM) لتوليد الجهود الضوئية النووية لجسيمات ألفا مع النوى قيد الدراسة، لذلك سنقصر التنويه هنا على هذا التأثير، ولا نجد ضرورة لسرد تفصيل عن التأثيرات الأخرى ويمكن الإحاطة بها بالاطلاع على المراجع المذكورة أعلاه لمعرفة الفروق الرئيسية فيما بينها.

1.5.1 تأثير JLM :

إن هذا التأثير مبني على المصفوفة G الفعلية طبقا لجهد القلب اللين لريد (Reid soft core) وحسابات بريكنر- هارترى- فوك (Brueckner-Hartree-Fock) [26]، ونظرا لأن الذي استنتجه ثلاثة من العلماء البلجيكين وهم جيكن وليجن وماهو Jeukenne, Lejeune and Mahaux عام 1977م [26] فقد سمي بتأثير JLM 0 يتميز هذا التأثير بأنه مرتبط في مضمونه بطاقة المقذوف والكثافة النووية لنواة الهدف، هذا بالإضافة إلى اشتماله على حد التأثير شبيه القياسي (Isoscalar) وآخر لشبيه المتجه (Isovector) وكذلك حد تصحيح كولومي (Coulomb correction).

أيضا يميز هذا التأثير عما سواه أنه يقدم توليفة من تأثيرين متباينين أحدهما حقيقي والآخر تخيلي، مما يبسر استنتاج جهدي طي مزدوج أحدهما حقيقي يختلف في فحواه عن نظيره التخيلي. ويجدر التنويه إلى أن هذا التأثير استنتج ليكون صالحا لوصف استطارة قذيفة لها طاقة حركة في المدى 10-160 MeV/nucleon

يصاغ هذا التأثير في صورة مركبة بالعلاقة

$$V_m = [G(\rho_P, \rho_T, E) + iW(\rho_P, \rho_T, E)]h(s) \quad \text{MeV} \quad (1-28)$$

حيث

$$G(\rho_P, \rho_T, E) = [1 - \beta_R \rho_P]V_I(\rho_T, E) \quad \text{MeV.fm}^3 \quad (1-29)$$

$$W(\rho_P, \rho_T, E) = [1 - \beta_I \rho_P]W_I(\rho_T, E) \quad \text{MeV.fm}^3 \quad (1-30)$$

$$h(s) = \frac{1}{(t\sqrt{\pi})^3} \exp(-s^2/t^2) \quad \text{fm}^{-3} \quad (1-31)$$

بمعلومية أن

$$S = |\vec{R} - \vec{r}_1 + \vec{r}_2|$$

حيث t هو معلم المدى ويساوي 1.2 fm، وتفصيل الدالتين V_I , W_I معروض في المرجع [26]. عادة ما

يُضبط المتغيران β_I و β_R للحصول على أفضل اتفاق مع القيم العملية 0